

418341 สภาพแวดล้อมการทำงานคอมพิวเตอร์กราฟิกส์
 การบรรยายครั้งที่ 23

ประมุข ชันเงิน
 pramook@gmail.com

วัตถุจริงๆ ตามธรรมชาติ

- ขรุขระ



วัตถุจริงๆ ตามธรรมชาติ

- ขรุขระ



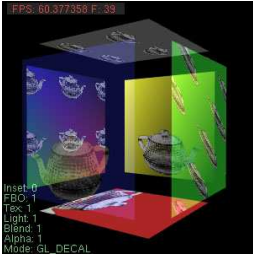
วัตถุจริงๆ ตามธรรมชาติ

- ขรุขระ



วัตถุที่เราสร้างได้ด้วย OpenGL

- เรียบ



Texture Mapping

- เราสามารถใช้ texture เพิ่มรายละเอียดให้วัตถุได้
- แต่นั่นก็เป็นแค่การเปลี่ยนสี ไม่มีลักษณะความขรุขระหรือดันทันลึก



ภาพจาก Oliveira, Bishop, McAllister, Relief Texture Mapping

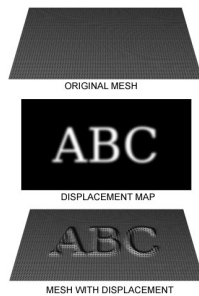
การทำให้พื้นผิวดูขรุขระ

1. Displacement Mapping
2. Normal Mapping
3. Bump Mapping
4. Relief Mapping

Displacement Mapping

- Cook (1984)
- เริ่มต้นจากพื้นผิวเรียบที่สร้างจาก **polygon** จำนวนมาก
- **texture** แสดงความ "นูน" ของพื้นผิว
- ใช้ **texture** ในการยกหรือกด **vertex** บนพื้นผิวนั้น
- ผลลัพธ์ได้เป็นพื้นผิวขรุขระจริงๆ

Displacement Mapping



Displacement Mapping

- ข้อดี
 - ได้ภาพที่สมจริงจริงๆ
- ข้อเสีย
 - ต้องใช้ **polygon** จำนวนมากเพื่อสร้างรายละเอียด
 - เปลืองหน่วยความจำ
 - วาดช้า

Normal Mapping

- จำลองความขรุขระโดยใช้ **texture** ระบุ **normal** ของแต่ละ **fragment** เอง
- มี **texture** เพิ่มมาหนึ่งอันใช้เก็บ **normal**
- เวลาคำนวณ **normal** ให้นำ **normal** จาก **texture** มาใช้
 - ไม่ได้เอา **normal** ตามที่ **OpenGL** ให้มา
- นิยมใช้ตามซอฟต์แวร์สร้าง **content** สามมิติต่างๆ
 - 3ds Max, Maya, Blender, ฯลฯ

Normal Mapping

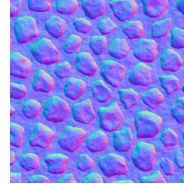
- การเก็บ **normal** ในรูปภาพ
 - ใช้ **R** แทนค่า **x**
 - ใช้ **G** แทนค่า **y**
 - ใช้ **B** แทนค่า **z**
- ความจริง **normal** จะเป็นเวกเตอร์หนึ่งหน่วย
 - ดังนั้น $z = \sqrt{1 - x^2 - y^2}$
 - ฉะนั้นเก็บแค่ **x** และ **y** ก็ได้

Normal Mapping

- x , y , และ z จะมีค่าได้ตั้งแต่ -1 ถึง 1
- แต่ R , G , และ B มีค่าได้ตั้งแต่ 0 ถึง 1 เท่านั้น
- เพราะฉะนั้นต้องแทน
 - -1 ด้วย 0
 - 1 ด้วย 1
- กล่าวคือ $R = x/2 + 0.5$
- สีของ normal map จึงดูสว่างๆ

Normal Mapping

- ตัวอย่าง normal map



จาก <http://www.bencloward.com/>



จาก <http://planetpixilemporium.com/>

Normal Map ทำให้เกิดความขรุขระได้อย่างไร?

- ใน Phong lighting model เราใช้ normal ในการคำนวณ
 - สี diffuse
 - สี specular
- เราไม่ได้ใช้ตำแหน่งของ fragment โดยตรงในการคำนวณสี
 - เว้นแต่ตอนที่หาเวกเตอร์จากตาไปยัง fragment
- พื้นผิวขรุขระ \rightarrow ความสูงเปลี่ยนเร็ว \rightarrow normal เปลี่ยนเร็ว
- ใช้ normal map เก็บ normal ไว้ \rightarrow สามารถหาสีได้ เหมือนกับพื้นผิวขรุขระ โดยไม่ต้องเก็บพื้นผิว

Normal Mapping

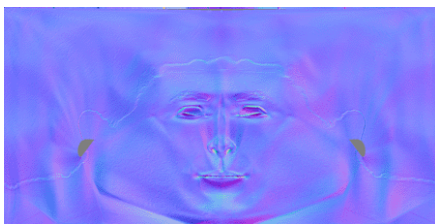
- โมเดลที่ทำจาก polygon เรียบๆ ไม่ใช่ polygon



จาก <http://www.bencloward.com/>

Normal Mapping

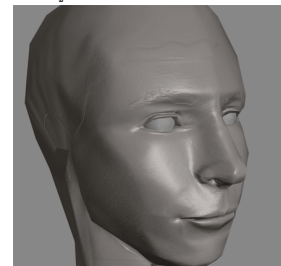
- เพิ่ม normal map



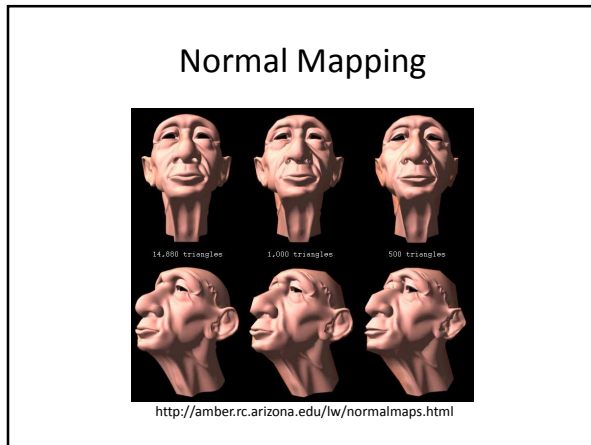
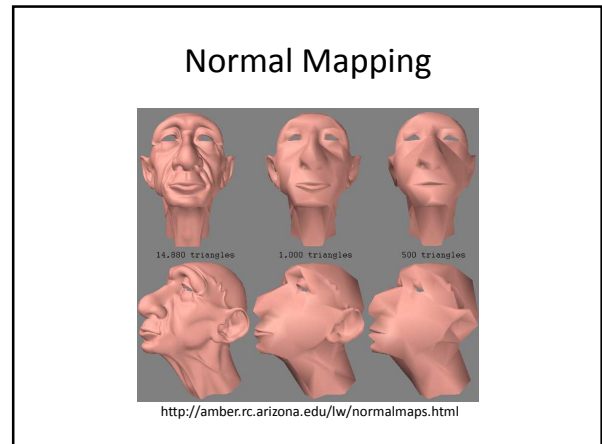
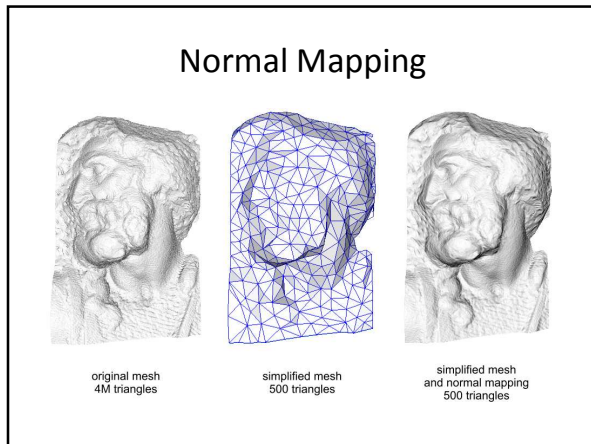
จาก <http://www.bencloward.com/>

Normal Mapping

- ภาพที่มีรายละเอียดสูง



จาก <http://www.bencloward.com/>



เราจะสร้าง normal map อย่างไร?

- มีสองวิธี
 - สร้างจากโมเดลรายละเอียดสูง
 - ไปดึงเอา normal ณ จากตำแหน่งต่างๆ มาเก็บไว้ใน texture
 - ซอฟต์แวร์สร้างเนื้อหาสามมิติส่วนใหญ่มี feature ให้คุณสามารถสร้าง normal map ได้
 - คำนวณจาก bump map

Bump Mapping

- วิธีการสร้างความขรุขระโดยใช้ texture ที่กำหนด "ความสูง" ของพื้นผิว
 - Texture แบบเดียวกับที่ใช้ทำ displacement mapping
- ต้องการได้ normal สำหรับแต่ละ fragment เหมือน normal map
 - Normal map → ผู้ใช้กำหนด normal ให้
 - Bump map → คำนวณเองจากความสูง

Surface Parameterization

- ก่อนทำ bump mapping ได้เราจะต้องสามารถระบุจุดแต่ละจุดบนพื้นผิวได้ด้วยพิกัด (u,v)
- ยกตัวอย่างเช่น ถ้าเป็นพื้นผิวสี่เหลี่ยมธรรมดา เราอาจจะกำหนดพิกัด (u,v) ดังต่อไปนี้

Surface Parameterization

- ในกรณีที่เป็นพื้นผิวอื่นๆ surface parameterization คือ ฟังก์ชัน $p: \mathbb{R}^2 \rightarrow \mathbb{R}^3$
- ฟังก์ชันนี้จะรับพิกัด (u,v) แล้วคืนจุด (x,y,z) ในสามมิติมาให้
- สมมติว่าพื้นผิวสี่เหลี่ยมจัตุรัสในข้อที่แล้วมี
 - มุมล่างซ้ายที่จุด $(-1,-1,0)$ และ
 - มุมบนขวาที่จุด $(1,1,0)$ แล้ว
 เราจะได้ว่า

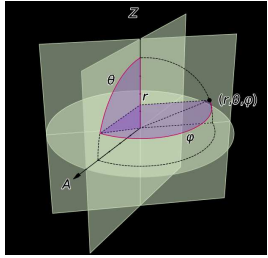
$$p(u, v) = \begin{bmatrix} 2u - 1 \\ 2v - 1 \\ 0 \end{bmatrix}$$

Surface Parameterization

- สำหรับทรงกลม เราอาจจะใช้ spherical coordinate

$$p(\theta, \phi) = \begin{bmatrix} \cos \phi \sin \theta \\ \sin \phi \sin \theta \\ \cos \theta \end{bmatrix}$$
- แต่ปกติแล้ว u และ v จะมีค่าตั้งแต่ 0 ถึง 1 ฉะนั้นเราจะใช้

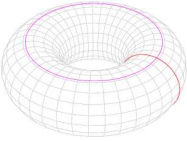
$$p(u, v) = \begin{bmatrix} \cos(2\pi v) \sin(\pi u) \\ \sin(2\pi v) \sin(\pi u) \\ \cos(\pi u) \end{bmatrix}$$



Surface Parameterization

- ถ้าเป็นโดนัทที่มีรัศมีหลอดเท่ากับ r และรัศมีของวงกลมใหญ่เท่ากับ R เราอาจใช้

$$p(u, v) = \begin{bmatrix} (R + r \cos(2\pi v)) \cos(2\pi u) \\ (R + r \cos(2\pi v)) \sin(2\pi u) \\ r \sin(2\pi v) \end{bmatrix}$$

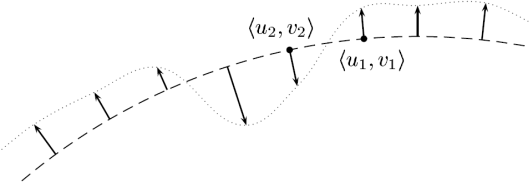


Bump Map

- Bump map เป็นฟังก์ชัน $d: \mathbb{R}^2 \rightarrow \mathbb{R}$ โดยที่ $d(u, v)$ มีค่าเท่ากับ ระยะทางที่พื้นผิว ณ พิกัด (u, v) ถูกทำให้สูงขึ้นหรือต่ำลงตามแนวของ normal ที่จุดนั้น
- ฉะนั้นพื้นผิวใหม่ที่ได้คือ

$$p^*(u, v) = p(u, v) + d(u, v)n(u, v)$$
 โดยที่ $n(u, v)$ คือ normal ที่พื้นผิวพิกัด (u, v)

Bump Map



การคำนวณ Normal

- เราต้องการคำนวณ normal ของพื้นผิวใหม่ p^*
- ปกติแล้วเราจะคำนวณ normal กันอย่างไร?
- ถ้าเรามีฟังก์ชัน p ของพื้นผิวใดๆ เราจะได้ว่า

$$n(u, v) = \text{normalize} \left(\frac{\partial p}{\partial u} \times \frac{\partial p}{\partial v} \right)$$
 เมื่อ
 - $\frac{\partial p}{\partial u}$ คือ partial derivative ของ p เมื่อเทียบกับ u
 - $\frac{\partial p}{\partial v}$ คือ partial derivative ของ p เมื่อเทียบกับ v
 normalize คือการทำให้เป็น vector หนึ่งหน่วย

ตัวอย่าง

- สำหรับฟังก์ชัน \mathbf{p} ของรูปสี่เหลี่ยม

$$\mathbf{p}(u, v) = \begin{bmatrix} 2u - 1 \\ 2v - 1 \\ 0 \end{bmatrix}$$

- เราจะได้ว่า

$$\frac{\partial \mathbf{p}}{\partial u} = \begin{bmatrix} 2 \\ 0 \\ 0 \end{bmatrix}, \frac{\partial \mathbf{p}}{\partial v} = \begin{bmatrix} 0 \\ 2 \\ 0 \end{bmatrix}$$

$$\mathbf{n}(u, v) = \text{normalize}\left(\frac{\partial \mathbf{p}}{\partial u} \times \frac{\partial \mathbf{p}}{\partial v}\right) = \begin{bmatrix} 0 \\ 0 \\ 1 \end{bmatrix}$$

การคำนวณ Normal ของ \mathbf{p}^*

- เราได้ว่า

$$\mathbf{n}^*(u, v) = \text{normalize}\left(\frac{\partial \mathbf{p}^*}{\partial u} \times \frac{\partial \mathbf{p}^*}{\partial v}\right)$$

- เพื่อความง่าย เราจะคำนวณ

$$\mathbf{m}^* = \frac{\partial \mathbf{p}^*}{\partial u} \times \frac{\partial \mathbf{p}^*}{\partial v}$$

ก่อน

- \mathbf{m}^* เป็นเวกเตอร์ที่ตั้งฉากกับพื้นผิว แต่มันไม่ใช่เวกเตอร์หนึ่งหน่วย

การคำนวณ Normal ของ \mathbf{p}^*

- เราจะได้อีกว่า

$$\begin{aligned} \frac{\partial \mathbf{p}^*}{\partial u} &= \frac{\partial(\mathbf{p} + d\mathbf{n})}{\partial u} = \frac{\partial \mathbf{p}}{\partial u} + \frac{\partial(d\mathbf{n})}{\partial u} \\ &= \frac{\partial \mathbf{p}}{\partial u} + \frac{\partial d}{\partial u} \mathbf{n} + \frac{\partial \mathbf{n}}{\partial u} d \end{aligned}$$

- ในทำนองเดียวกัน

$$\frac{\partial \mathbf{p}^*}{\partial v} = \frac{\partial \mathbf{p}}{\partial v} + \frac{\partial d}{\partial v} \mathbf{n} + \frac{\partial \mathbf{n}}{\partial v} d$$

การคำนวณ Normal ของ \mathbf{p}^*

- เพื่อให้การคำนวณง่ายขึ้น เราจะประมาณว่า

$$\begin{aligned} \frac{\partial \mathbf{p}^*}{\partial u} &\approx \frac{\partial \mathbf{p}}{\partial u} + \frac{\partial d}{\partial u} \mathbf{n} \\ \frac{\partial \mathbf{p}^*}{\partial v} &\approx \frac{\partial \mathbf{p}}{\partial v} + \frac{\partial d}{\partial v} \mathbf{n} \end{aligned}$$

- ทั้งนี้เป็นเพราะว่า $\frac{\partial \mathbf{n}}{\partial u}$ และ $\frac{\partial \mathbf{n}}{\partial v}$ นั้นคำนวณลำบาก
- การตัดเทอมสุดท้ายออกยังคงค่อนข้างสมเหตุสมผล เนื่องจาก
 - $d(u, v)$ มีค่าน้อย (ถ้ามีค่ามากเกินไปก็ควรจะทำสร้างโมเดลใหม่เสีย)
 - พื้นผิวดังต้นเป็นพื้นผิวเรียบ ดังนั้น $\frac{\partial \mathbf{n}}{\partial u}$ และ $\frac{\partial \mathbf{n}}{\partial v}$ จึงมีค่าน้อย (กล่าวคือ normal ไม่เปลี่ยนแปลงอย่างรวดเร็ว)

การคำนวณ Normal ของ \mathbf{p}^*

- ฉะนั้น

$$\begin{aligned} \mathbf{m}^* &\approx \left(\frac{\partial \mathbf{p}}{\partial u} + \frac{\partial d}{\partial u} \mathbf{n}\right) \times \left(\frac{\partial \mathbf{p}}{\partial v} + \frac{\partial d}{\partial v} \mathbf{n}\right) \\ &= \left(\frac{\partial \mathbf{p}}{\partial u} \times \frac{\partial \mathbf{p}}{\partial v}\right) + \left(\frac{\partial d}{\partial u} \mathbf{n} \times \frac{\partial \mathbf{p}}{\partial v}\right) - \left(\frac{\partial d}{\partial v} \mathbf{n} \times \frac{\partial \mathbf{p}}{\partial u}\right) \end{aligned}$$

- แล้ว

$$\mathbf{n}^* = \text{normalize}(\mathbf{m}^*) = \frac{\mathbf{m}^*}{\|\mathbf{m}^*\|}$$

การคำนวณ Normal ของ \mathbf{p}^*

- ที่เหลือคือต้องคำนวณ $\frac{\partial d}{\partial u}$ และ $\frac{\partial d}{\partial v}$
- ถ้ามีสูตรของ d เราสามารถทำการคำนวณมันได้อย่างง่ายดาย
- แต่ปกติแล้ว d จะให้มาเป็น texture
- อย่างไรก็ดี เราสามารถประมาณอนุพันธ์ได้ดังต่อไปนี้

$$\begin{aligned} \frac{\partial d}{\partial u}\Big|_{(u', v')} &\approx \frac{d(u' + \varepsilon, v') - d(u', v')}{\varepsilon} \\ \frac{\partial d}{\partial v}\Big|_{(u', v')} &\approx \frac{d(u', v' + \varepsilon) - d(u', v')}{\varepsilon} \end{aligned}$$

โดยที่ ε คือค่าคงที่ที่มีค่าน้อยค่าหนึ่ง

การคำนวณ Normal ของ p^*

- ในภาษา Cg เราจะให้ d เป็นตัวแปรประเภท sampler2D
- สมมติว่า d เป็น texture ที่มีความกว้าง w pixel และสูง h pixel
- เราสามารถคำนวณ partial derivative ของ d ณ พิกัด (u,v) ได้ดังต่อไปนี้

```
float ddx = w*(tex2D(d, float2(u+1.0f/w,v)) - tex2D(d, float2(u,v))).r;
float ddy = h*(tex2D(d, float2(u,v+1.0f/h)) - tex2D(d, float2(u,v))).r;
```

Normal Mapping



ข้อจำกัดของ Normal และ Bump Mapping

- ไม่มีการทอดเงาลงบนตัวเอง
- ไม่มี parallax
 - ส่วนที่ขุ่นขึ้นมาเคลื่อนที่ไปพร้อมกับส่วนที่เว้าลงไป
 - ความจริงแล้วทั้งสองส่วนนี้ควรจะเคลื่อนที่เมื่อเทียบกับตาแตกต่างกันเล็กน้อย

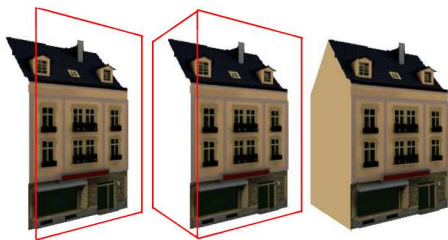
Relief Mapping

- เทคนิคการแสดงผลพื้นผิวที่มีรายละเอียดสูงโดยใช้ข้อมูลความสูงของ fragment แต่ละ fragment ประกอบ
- คิดว่าจริงๆ แล้วพื้นผิวเป็น "กล่อง"



ภาพจาก Oliveira, Bishop, McAllister, Relief Texture Mapping

Relief Mapping



ภาพจาก Oliveira, Bishop, McAllister, Relief Texture Mapping

Relief Mapping

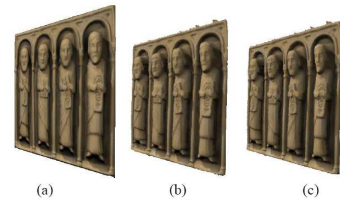


Figure 4: Rendering comparison from the same viewpoint. (a) Color image rendered as a conventional texture. (b) Relief texture mapping rendering. (c) Rendering of the color and depth data in Figure 3 as a mesh of micro-polygons.

Policarpo, Oliveira, Comba. Real-Time Relief Mapping on Arbitrary Polygonal Surfaces

Relief Map

- สำหรับพื้นผิวที่ต้องการแสดง จะมี texture อยู่ 2 texture
 - Normal map
 - Height map บอกความ “ลึก” ของแต่ละ texel
 - 0 = ตื้น, 1 = ลึก
- สามารถแทนทั้งหมดข้างบนนี้ได้ด้วย texture RGBA แค่ texture เดียว
 - Normal map → RGB
 - Height map → A

Relief Map

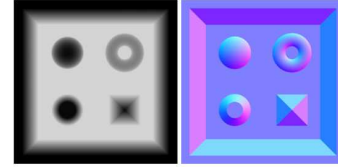


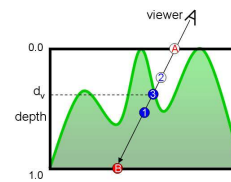
Figure 6: A relief texture represented by a depth (left) and a normal map (right). The normals are mapped to the [0,1] range and stored as an RGB image.

Policarpo, Oliveira, Comba. Real-Time Relief Mapping on Arbitrary Polygonal Surfaces

การแสดงผล Relief Map

- วาดพื้นผิวเรียบที่มี relief map ที่ติดอยู่ด้วยตามธรรมชาติ
- เมื่อไปถึงขั้นของการประมวลผล fragment เราจะใช้ข้อมูล
 - ตำแหน่งของ fragment
 - Texture coordinate
- คิดว่า fragment อยู่ที่ “ผิวหน้า” ของกล่อง
- ลากรั้วสีจากสายตาไปยัง fragment
- เราต้องการหาว่ารั้วสีนั้นตัดกับพื้นผิวจริงๆ ที่ไหน

การแสดงผล Relief Map



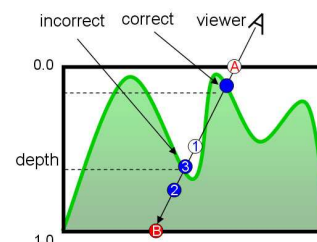
- ตำแหน่ง A = ตำแหน่งของ fragment
- ต้องการหาจุด (3) ซึ่งเป็นจุดแรกที่รั้วสีตัดกับพื้นผิว

การแสดงผล Relief Map

- เราสามารถจุดที่รั้วสีตัดกับวัตถุเป็นจุดแรกได้ด้วยการทำ binary search
 - จำนวนจุด B ซึ่งเป็นจุดที่รั้วสีเดินทางถึงความลึก 1
 - จำนวนจุดตรงกลางระหว่าง A กับ B (ในภาพคือจุด (1))
 - ถ้าจุดตรงกลางนั้นอยู่ใต้พื้นผิว
 - เปลี่ยน B ไปเป็นจุด (1)
 - ถ้าจุดตรงกลางอยู่เหนือพื้นผิว
 - เปลี่ยน A ไปอยู่ที่จุด (1)
 - ทำเช่นนี้ไปเรื่อยๆ จน A กับ B ใกล้กันมากๆ (ส่วนใหญ่ 8 รอบก็พอ)
 - ใช้ normal และสีที่จุดกลางระหว่าง A กับ B ในการแสดงผล

การแสดงผล Relief Map

- อย่างไรก็ตามการค้นหาจุดดังกล่าวอาจทำให้เราเห็นพื้นผิวที่ดูบังได้
- กรณีที่มีพื้นผิวแคบๆ ระหว่างจุด A กับ (1)

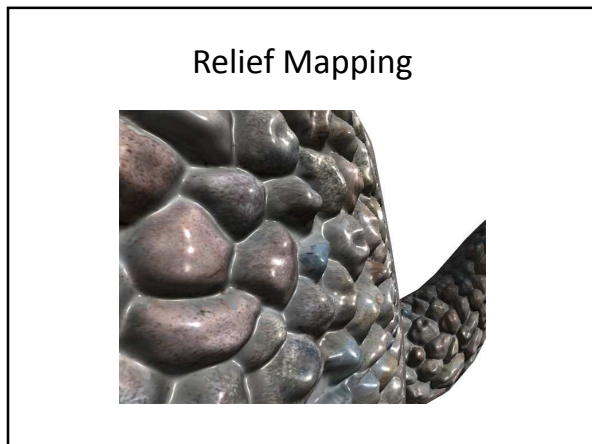
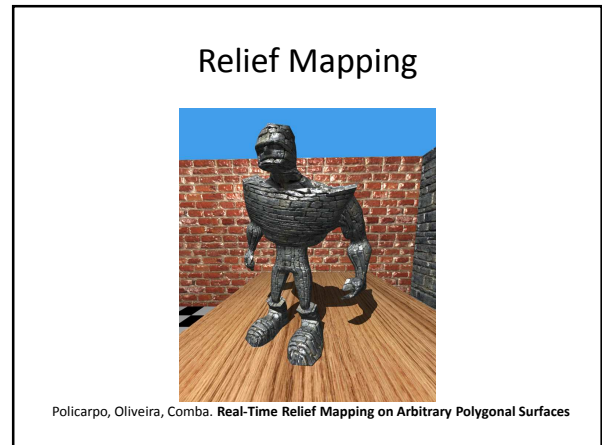


การแสดงผล Relief Map

- เพื่อหลีกเลี่ยงความผิดพลาดดังกล่าว เราจะทดสอบจุดที่อยู่ห่างจากจุด A ไปที่ละ δ จนกระทั่งเจอพื้นผิวแรก
- หลังจากนั้นใช้ **binary search**

การแสดงผล Relief Map

- เราสามารถนำอัลกอริทึมเดียวกันไปใช้หาว่าจุดที่เห็นได้รับแสงหรือไม่ด้วย
- ทำการลากเส้นจากจุดบนพื้นผิวไปยังแหล่งกำเนิดแสง
- หาวว่ามีพื้นผิวระหว่างจุดตัดกับแหล่งกำเนิดแสงหรือไม่



ข้อจำกัดของ Relief Mapping

- ไม่สามารถทำให้เงาของวัตถุขรุขระตามไปด้วยได้

